

УДК 550.4

ГЕОХИМИЯ МАРГАНЦА В КАРБОНАТНЫХ КОНКРЕЦИЯХ. ОБЗОР

Я. Э. Юдович, М. П. Кетрис

Институт геологии Коми НЦ УрО РАН, Сыктывкар

yudovich@geo.komisc.ru

Рассмотрены проблемы геохимии марганца в карбонатных и карбонатсодержащих конкрециях с Mn-карбонатами, относящимися к двум структурным типам: кальцитовому (Mn-кальцит, родохрозит, сидерит, олигонит) и доломитовому (Mn-доломит и Mn-анкерит). Подтверждается идея о том, что формирование того или иного структурного типа Mn-карбонатов обусловлено условиями диагенеза, которые, в свою очередь, предопределялись факторами седиментогенеза: количеством органического вещества в осадках и скоростью осадконакопления. Анализ вычисленных формул карбонатов доломитового типа показывает, что общим правилом является заселение марганцем только позиций Mg (Fe), но не позиций Ca, так что общая формула выглядит как $\text{Ca}_{0.50}(\text{Mg}, \text{Fe}, \text{Mn})_{0.50}[\text{CO}_3]$. Отклонения от этого эмпирического правила (ф. е. $\text{Ca} < 0.50$) редки и, возможно, не всегда достоверны. При формировании конкреционных Fe-карбонатов значения марганцевого модуля ($\text{MM} = \text{Mn/Fe}$) сохранялись на окологларковом для земной коры уровне [Li, 2000], но резко возрастали при формировании Ca-карбонатов, свидетельствуя о сильнейшем диагенетическом отделении Mn от Fe.

Ключевые слова: марганец, геохимия, карбонатные конкреции, диагенез.

MANGANESE GEOCHEMISTRY IN CARBONATE NODULES. A REVIEW

Ya. E. Yudovich, M. P. Ketris

Institute of Geology, Komi SC UB RAS, Syktyvkar

Mn-bearing carbonate nodules may contain carbonate of two structural types: calcite (Mn-calcite, rhodochrosite, siderite, oligonite) and dolomite ones (Mn-dolomite and Mn-ankerite). An idea is discussed, that each structural Mn-carbonate type is determined by conditions of diagenesis. The latter, in turn, would be determined by sedimentation conditions, such as organic matter abundance and sedimentation rate. As a rule, dolomite-type Mn-carbonates have general structural formulae $\text{Ca}_{0.50}(\text{Mg}, \text{Fe}, \text{Mn})_{0.50}[\text{CO}_3]$, i. e. Mn occupies only Mg(Fe)-positions but not the Ca-positions. A deviation from such empirical rule is rare and may be not always reliable. Mn-module values ($\text{MM} = \text{Mn/Fe}$) were near average for the Earth crust [Li, 2000] at Fe-carbonates formation but rose sharply at Ca-carbonate formation.

Keywords: manganese, geochemistry, carbonate nodules, diagenesis.

Марганец является самой характерной примесью в карбонатных конкрециях. Повышенные содержания Mn в карбонатных конкрециях настолько типичны, что сами по себе являются диагностическим признаком, а именно — помогают отличать конкреционный карбонат от неконкреционного [25]. Эта эмпирическая закономерность (накопление марганца) была названа нами «закономерностью Страхова» [25], поскольку именно академик Н. М. Страхов придавал ей большое значение [22]. Причина возникновения закономерности Страхова заключается в огромной разнице растворимости CaCO_3 и MnCO_3 . Если произведение растворимости (ПР) CaCO_3 , по данным химических справочников, составляет 5×10^{-9} , то термодинамическое ПР (т. е. произведение активностей) родохрозита MnCO_3 , по последним экспериментальным данным А. В. Савенко [16], в 500 раз меньше — 9.52×10^{-12} . Поэтому в диагенезе

катионы Mn^{2+} , несмотря на то что концентрация их в иловом растворе, как правило, намного меньше, чем концентрация катионов Ca^{2+} , будут в первую очередь связываться с анионами CO_3^{2-} , и, таким образом, марганец будет «перекачиваться» из окружающего осадка в формирующуюся карбонатную конкрецию в виде изоморфной примеси по схеме: $\text{Mn(III, IV)}\text{(твердая фаза осадка)} \Rightarrow \text{Mn}^{2+}\text{(илювий раствор)} \Rightarrow \text{Mn(II)}\text{(карбонатная конкреция)}$ [25, с. 145]. Если же твердая или жидккая фазы осадка были обогащены марганцем (что характерно для многих вулканогенно-осадочных и депрессионных черносланцевых толщ), то станет возможным диагенетическое (или даже седиментационное) формирование собственных карбонатов марганца, в которых уже Ca^{2+} , Mg^{2+} и Fe^{2+} будут выполнять роль структурных примесей. Именно такую картину мы наблюдаем в черносланцевых палеозойских толщах Пай-Хоя [27], для ко-

торых характерно необыкновенное обилие карбонатных и карбонатсодержащих (карбонатно-кремнистых, карбонатно-бертьериново-кремнистых, карбонатно-баритовых и др.) конкреций.

1. Ca-карбонаты с кальцитовым типом структурь. Ряд кальцита — родохрозита

Экспериментально установлено [8, с. 451], что между 50 и 80 % MnCO_3 существует разрыв смесимости между CaCO_3 и MnCO_3 . Однако в природных карбонатах нередко присутствуют фазы, в которых содержание Mn попадает в этот интервал. Такие фазы считаются метастабильными. Так написано во многих учебниках, и в частности в современной сводке Дж. Мейнарда, 2003 г. [42, с. 298].

Согласно экспериментальным данным Ж. Мишара [43], коэффициент распределения Mn (λ_{Mn}) при



осаждении CaCO_3 составляет 5.4 ± 0.3 . В эксперименте изучали кинетику вхождения марганца в формирующийся кальцитовый осадок при разных пересыщенных растворах (от 1 до 5.5), что равносильно разной скорости осаждения кальцита. Установлено, что чем быстрее кристаллизуется кальцит, тем меньше величина λ_{Mn} , согласно кинетическому уравнению:

$$\lg \lambda_{\text{Mn}} = -0.266 \lg R + 1.35,$$

где R — скорость кристаллизации в нмоль CaCO_3 на 1 мг растущего кристалла в минуту [41]. Следовательно, при медленной диагенетической перекристаллизации известняков (а в эксперименте скорость перекристаллизации на 2–4 порядка меньше скорости прямого осаждения) можно ожидать обогащения новообразованных цементов (и конкреций) марганцем, что находится в полном согласии с наблюдениями над осадками или осадочными породами.

Поданным А. В. Савенко [16], при $\text{pH} = 8$ в морской воде растворимость родохрозита (по Mn) определена как ~ 10 мкМ (т. е. около 0.55 мг Mn/л), но при подкислении среды она стремительно возрастает: на два порядка при снижении pH на единицу (до ~ 1000 мкМ при $\text{pH} = 7$). Из этого следует вывод, что образование родохрозита возможно только в восстановленных осадках, в которых концентрация Mn(II) достигает 200–500 мкМ (т. е. около 10–25 мг/л). Этот вывод находится в согласии с натурными данными о присутствии родохрозита в осадках Тихого океана [4, 36, 45], Берингова моря [38], Ландсортской впадины Балтики [40, 47].

Например, в осадках Ландсортской впадины Балтики в 1979 г. был описан парагенезис минералов железа и марганца, свидетельствующий о неравновесном диагенетическом процессе. Здесь существуют сложный Mn—Ca—Mg-карбонат состава $(\text{Mn}_{0.79}\text{Ca}_{0.10}\text{Mg}_{0.05})[\text{CO}_3]$, Mn-фосфат, Mn-сульфид, Fe-карбонат, FeS и сложный Fe—Ca-фосфат состава $(\text{Fe}_{0.86}\text{Ca}_{0.14})[\text{PO}_4]_2$. Судя по величине $\delta^{13}\text{C}_{\text{карб}}$, равной $-13\text{\textperthousand}$, в формировании карбоната принимал участие биогенный CO_2 , выделявшийся в аноксических осадках [47, p. 343].

Родохрозит, или чаще Ca-родохрозит, описаны во многих осадочных толщах, имеющих возраст плеистоценовый [37], олигоценовый [23], эоценовый [2, 44, 48], раннекарбоновый [35], фамен-турнейский [27], девон-

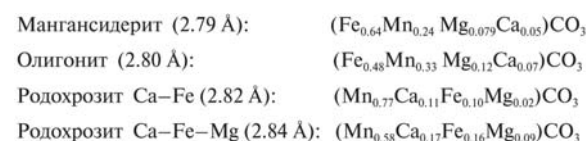
ский [12], силурийский [26] и даже позднерифейский [7, с. 147].

Украинскими учеными детально изучалась Ca-родохрозитовая конкреция из олигоценовых глин Никопольского марганцеворудного бассейна [23, с. 113]. Вычисленный нами по 14 анализам средний состав конкреции показывает значительные примеси Ca, Mg и Fe (%): SiO_2 — 15.18, Al_2O_3 — 5.08, Fe_2O_3 — 3.50, MnO — 36.82, MgO — 3.88, CaO — 4.26, P_2O_5 — 0.16. Силикатная примесь матрицы здесь не превышает 25 %, что означает мощное проявление конкреционного про-

цесса с сильнейшим отделением марганца от железа (вероятно, унаследованного от исходного соотношения в воде стагнированного бассейна), что дает значение марганцевого модуля ($\text{MM} = \text{Mn/Fe}$) 14.68 — в 734 раза выше кларкового для земной коры [39]. Величина MnO сильно коррелируется с валовым железом: $r = 0.72 > r_{0.01} = 0.66$. По 32 анализам вмещающих олигоценовых глин [23, с. 94] при рудном содержании MnO , составляющем в среднем 20.5 (5–35) %, и среднем содержании $\text{Fe}_2\text{O}_3 + \text{FeO} = 7.8\%$ величина MM получается равной 3.2, что в 160 раз выше кларка. Таким образом, диагенетический процесс (формирование Ca-родохрозитовой конкреции) вдвое увеличил исходное (чрезвычайно высокое) значение марганцевого модуля.

В табл. 1 сведены данные, характеризующие марганецодержащие Ca-карбонатные конкреции из черносланцевых толщ девона и карбона Пай-Хоя, в которых данный (кальцитовый) структурный тип доминирует [27].

Марганец присутствует во всех конкреционных сидеритах, иногда в значительных количествах, вплоть до образования Fe—Mn-карбонатов — мангансидеритов и олигонитов с характерным рентгеновским рефлексом между сидеритовым (2.78 Å) и родохрозитовым (2.85 Å). Например, изучавшиеся нами [27] пайхойские Fe—Mn карбонатные конкреции имели рефлексы в диапазоне от 2.79 до 2.84 Å:



Присутствие марганецодержащих конкреционных сидеритов отмечалось во многих регионах и в толщах разного возраста, но чаще всего в угленосных [5, 14, 15, 18] и флишевых толщах [1, 23]. Конкреционные сидериты описаны в отложениях, имеющих возраст плиоценовый [23, с. 54–55], палеогеновый [15], нижнеюрский [5, 6], средне- и верхнеюрский [3, 18], верхнетриасовый—нижнеюрский [17, с. 134–135; 23, с. 93], пермский [14], карбоновый [11, с. 52], девонский и карбоновый [27], вендский [19], рифейский [7, с. 147]. Кроме того, седиментационные (?) сидериты широко распространены в архейских и карельских (раннепротерозойских) железорудных формациях [21]. Как было показано А. В. Македоновым в Печорском бассейне еще в 1942 г., конкреционные сидериты в угленосных отложениях являются отличными индикаторами континентальных (пресноводных) топографий [14, 28].

Сидеритовые конкреции детально изучались украинскими геологами

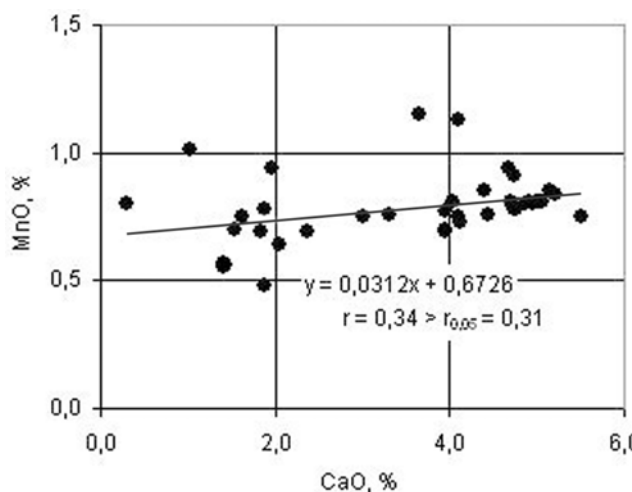


Рис. 1. Корреляция марганца с кальцием в сидеритовой конкреции на Яныш-Такыльском месторождении оолитовых железных руд в Керченском бассейне.

Построено по данным Е. М. Шнюкова и др., 1969 г. [23, с. 54–55]



Характеристики марганецсодержащих Са-карбонатных конкреций с кальцитовым типом структуры. Черносланцевые толщи фамена и турне Пай-Хоя. Наши данные [27]

Образец	Описание	Карбонатные фазы и их рефлексы (\AA) на дифрактограммах	Расчетная формула преобладающей карбонатной фазы
Ka21/390	Прослой белого мраморовидного конкрециоида в фаменских яшмоидах толщиною 0.05–0.15 м	Доминирует Mn-кальцит (3.00 \AA) с малой примесью олигонита (2.80 \AA)	
Ka57/1027	Зональная округлая конкреция 0.10×0.05 м в турнейских фтанитах, руч. Грома-Шор	Доминирует Ca-родохрозит (2.82 \AA)	Ca-родохрозит: $(\text{Mn}_{0.785}\text{Ca}_{0.127}\text{Fe}_{0.056}\text{Mg}_{0.032})\text{CO}_3$
Ka57/1026	Крупная зональная конкреция (0.75×0.35 м) в черных турнейских сланцах, руч. Грома-Шор	Резко доминирует Fe-Са родохрозит (2.82 \AA) при ничтожной примеси Mn-кальцита (3.00 \AA)	Fe-Са родохрозит: $(\text{Mn}_{0.76}\text{Fe}_{0.14}\text{Ca}_{0.09}\text{Mg}_{0.01})\text{CO}_3$

Характеристики марганецсодержащих Fe-карбонатных конкреций с кальцитовым типом структуры. Черносланцевые толщи девона и карбона Пай-Хоя. Наши данные [27]

Образец	Описание	Карбонатные фазы и их рефлексы (\AA) на дифрактограммах	Расчетная формула преобладающей карбонатной фазы
Ka75/1327	Однотипные «вороненые» с поверхности карбонатные конкреции в сланцах падейской свиты D ₂ из района о-ва Марей-Го с пиритом или без него, обычно зональные, а также аналогичные по составу и облику конкрециоиды, имеющие вид «поленьев» разной длины (это форма будинирования компетентных прослоев конкрециоидов в пластичных сланцах)	2.80 \AA — олигонит 2.79 \AA — Mn-сидерит 2.79 \AA — Mn-сидерит	$(\text{Fe}_{0.556}\text{Mn}_{0.245}\text{Mg}_{0.148}\text{Ca}_{0.050})\text{CO}_3$ $\text{Fe}_{0.60}\text{Mn}_{0.20}\text{Mg}_{0.14}\text{Ca}_{0.06}\text{CO}_3$ $(\text{Fe}_{0.68}\text{Mn}_{0.28}\text{Ca}_{0.04})\text{CO}_3$
Ka75/1489			
Ka75/1460			
Ka75/1461		Соотношение интенсивностей рефлексов (\AA) 2.80 (олигонит): 3.02 (кальцит) = 7.1:1.0	Олигонит: $(\text{Fe}_{0.49}\text{Mn}_{0.31}\text{Mg}_{0.12}\text{Ca}_{0.08})\text{CO}_3$
Ka75/1328		2.81 \AA — Mn-сидерит-олигонит	$(\text{Fe}_{0.478}\text{Mn}_{0.300}\text{Mg}_{0.141}\text{Ca}_{0.081})\text{CO}_3$
Ka75/1462a		2.80 \AA — олигонит	$(\text{Fe}_{0.461}\text{Mn}_{0.363}\text{Mg}_{0.088}\text{Ca}_{0.088})\text{CO}_3$
Ka75/1466		2.80 \AA — олигонит-Fe-родохрозит	$(\text{Mn}_{0.414}\text{Fe}_{0.389}\text{Mg}_{0.127}\text{Ca}_{0.070})\text{CO}_3$
Ka21/394	Конкрециоидный прослой в черносланцевой пачке непосредственно над фаменскими яшмоидами	Соотношение интенсивностей рефлексов 2.82 \AA (Fe-родохрозит): 2.88 \AA (доломит) = 8.3:1	Fe-родохрозит: $(\text{Mn}_{0.64}\text{Fe}_{0.28}\text{Ca}_{0.06}\text{Mg}_{0.02})\text{CO}_3$

Таблица 1

в пределах плиоценового Керченского железорудного бассейна [23, с. 54–55]. Вычисленный нами по 39 анализам средний состав сидеритовой конкреции из «табачных глин» в береговом обрыве Керченского пролива на Яныш-Такильском месторождении оолитовых железных руд показывает 0.78 % MnO, что при среднем содержании $(\text{Fe}_2\text{O}_3 + \text{FeO}) = 49.99\%$ дает окологларковое значение марганцевого модуля Mn/Fe = 0.016. Следовательно, при диагенетическом формировании сидеритовой конкреции разделения марганца и железа не произошло. Выявляются значимые связи MnO как с величиной $\text{Fe}_2\text{O}_3 + \text{FeO}$ ($r = 0.41 > r_{0.05} = 0.31$), так и с CaO (рис. 1). Определенная размытость связей MnO с CaO может объясняться присутствием в конкреции фосфатного Ca.

Коллекция конкреционных сидеритов (42 образца) главным образом из средне- и отчасти из верхнеюрских отложений Сысольской котловины была собрана О. С. Ветошкиной в двух карьерах и пяти обнажениях. Считается, что отложения средней юры континентальные, а верхней — морские, хотя заметной разницы химического состава тех и других сидеритов мы здесь не усматриваем. Если исключить один анализ с экстремальным содержанием MnO 4.54 % (карьер у д. Морово), то при средних содержаниях

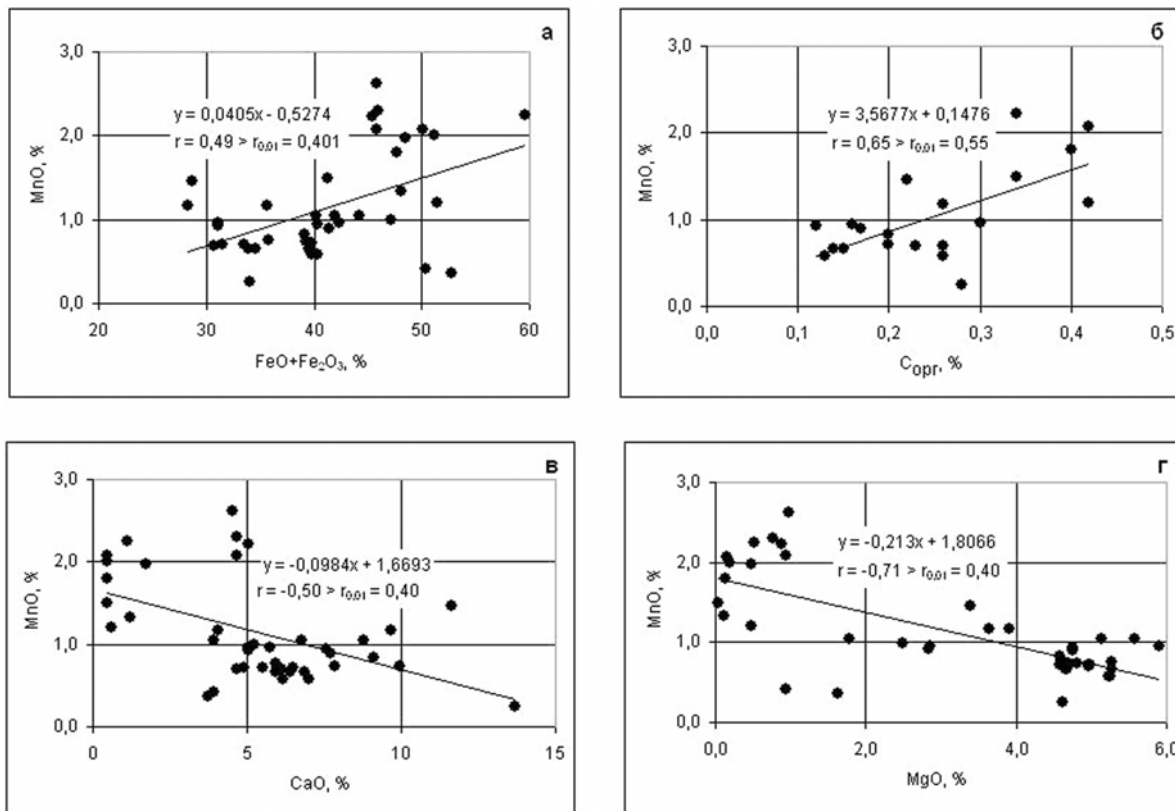


Рис. 2. Марганец в юрских сидеритах Сысольской котловины. Построено по данным О. С. Ветошкиной, 2001 г. [3, с. 145–147]



MnO и Fe₂O₃+FeO 1.14 и 41.16 % значения марганцевого модуля получаются между кларками [39] «сланцев» (0.014) и «известняков» (0.044): MM = 0.028. Карбонатный углерод и кислород сидеритов имеют облегченный изотопный состав, в среднем (PDB) $\delta^{13}\text{C}_{\text{карб}} = -9.7 \text{ ‰}$, $\delta^{18}\text{O}_{\text{карб}} = +23.3 \text{ ‰}$. Марганец в этих сидеритах тесно коррелируется с железом и С_{опр} (рис. 2, а, б) и обнаруживает обратную корреляцию с Ca и Mg (рис. 2, в, г), что, по-видимому, указывает на конкуренцию этих двух элементов с марганцем за позиции в структуре сидерита.

В табл. 2 сведены данные, характеризующие марганецсодержащие Fe-карбонатные конкреции с кальцитовым типом структуры из черносланцевых толщ девона и карбона Пай-Хоя, в которых данный (кальцитовый) тип структуры доминирует [27].

2. Ca-, Mg-карбонатные конкреции с доломитовым типом структуры. Ряды доломита–кунагорита и анкерита–Mn-анкерита

Марганценосные карбонаты типа доломита или анкерита известны в некоторых осадках [24], но, по-видимому, они более редки, чем Mn-карбонаты кальцитового типа. В осадочных породах марганец присутствует во всех конкреционных доломитах и анкеритах, иногда в значительных количествах, образуя непрерывный ряд между манган-доломитами (кунагоритами) и манган-анкеритами. Изучавшиеся нами [27] пайхойские Ca–Mg–Fe–Mn-карбонатные конкреции из черносланцевых толщ девона и карбона показывали на дифрактограммах рефлексы в диапазоне от 2.89 до 2.92 Å, с общей формулой Ca_{0.50}(Mg, Mn, Fe)_{0.50}CO₃, т. е. марганец располагался только в позициях железа или магния — но не в позициях кальция.

В осадочных породах Mn-карбонаты доломитового (или анкеритового) структурного типа особенно характерны для древних докембрийских толщ, но там они чаще седиментационные (эвапоритовые), а не конкреционные. Что касается собственно конкреционных Mn-карбонатов, то они известны в отложениях нижней перми [9], угленосного карбона Донбасса [11, с. 94], черносланцевого девона и карбона Пай-Хоя [27], силура Западных Карпат [46].

На Улутелякском марганцевом месторождении (филипповский гори-

зонт кунгурского яруса нижней перми, Башкирское Приуралье), если верить расчетным формулам, то марганец входит в состав трех карбонатов [9]:

Mn-кальцита (2.98 Å) с формулой (Ca_{0.80}Mn_{0.11}Mg_{0.08}Fe_{0.01})CO₃,

Mn-доломита (2.90 Å) с формулой (Ca_{0.47}Mg_{0.40}Mn_{0.12}Fe_{0.01})CO₃,

Mg–Mn–Ca-карбоната (2.899 Å) с формулой (Ca_{0.38}Mn_{0.35}Mg_{0.23}Fe_{0.01})CO₃

Как видим, в третьем (преобладающем в этих рудах) карбонате марганец замещена и часть позиций Ca. Может быть, при *большом количестве* Mn²⁺ в карбонатной системе в структуре доломита как бы «переполняется кристаллохимическая емкость» позиции (Mn, Mg, Fe)_{0.50}, и вследствие этого кристаллизуется такой карбонат с доломитовой структурой, где Mn²⁺ занимает позиции Ca²⁺?

По приведенным П. В. Зарицким [11, с. 94] восьми анализам мы рассчитали средний состав конкреций из прибрежно-морских и морских отложений угленосного карбона Донбасса (%): н. о. (нерасторимый остаток) 27.25 (16.33–59.65 %), CaO — 19.45, FeO — 14.70 (1.22–32.04), MgO — 5.44, MnO — 0.82 (0.43–1.07), P₂O₅ — 1.04, CO₂ — 29.35. Как видим, содержание Mn значительно выше кларкового для карбонатных пород. Сильные колебания выхода н. о. обусловили сильную изменчивость химического состава этих конкреций. Среднее значение марганцевого модуля здесь получается значительно выше кларка «известняков» (0.044): MM = 0.061, при колебаниях от 0.031 до 0.388. Здесь наряду с прямой корреляцией марганца с железом (рис. 3) проявляется и обратная связь марганца с кальцием, оттеняющая структурную позицию марганца — замещение им железа в сидерите или скорее в анкерите. При этом, если MnO отрицательно коррелируется с CaO, то марганцевый модуль обнаруживает с CaO четкую положительную корреляцию! Таким образом, чем более известковисты конкреции, тем сильнее марганец отделяется от железа. Это позволяет думать, что по мере роста CaO и снижения FeO в конкрециях (что свойственно наиболее мористым фациям), марганец начинает входить в кальцит, замещая Ca, тогда как замещение Ca железом не происходит вследствие большой разницы ионных радиусов Ca²⁺ и Fe²⁺.

В черносланцевой силурийской (?) толще метаморфизованных радиоляритов Западных Карпат в СВ Венгрии в результате альпийского метасоматизма по субстрату первичных

Mn-кальцитов сформировались эвгедральные зональные кристаллы Mn-анкеритов/Mn-сидеритов двух разновидностей: А — магнезиальные, с

атомным отношением Fe/Mg 0.36—0.55 и В — железистые, с Fe/Mg отношением 1.22—2.12. Первые заметно беднее марганцем: в среднем 0.67 % против 0.93 %, что указывает на замещение марганцем (и железом) именно структурных позиций Mg, а не Ca, формульные количества которого в обоих типах анкеритов колеблются незначительно, в пределах ошибки анализа (от 0.497 до 0.544). Такое замещение подтверждается и почти функциональной обратной корреляцией Mg — Mn и Mg — (Fe+Mn). Средний состав этих зональных анкерит/сидеритов венгерские геологи [46] выражают странной 8-катионной формулой: Ca_{3.84}Fe_{1.16}(Mg, Mn)₃[CO₃]₈. В более привычной (и правильнее отражающей структурные позиции катионов) 1-катионной записи эта формула должна быть переписана в виде: Ca_{0.48}(Mg, Fe, Mg)_{0.52}[CO₃]. Кроме этих зональных анкерит-сидеритов, в одном образце с гл. 475.3 м из скважины DT-8 был обнаружен богатый марганцем анкерит в ассоциации с кварцем, сидеритом, хлоритом и K-полевым шпатом. Это минерал в рассеянных эвгедральных и ангедральных зернах содержал (по трем микрозондовым анализам) 5.63—12.58 %, в среднем 8.15 % Mn, а его формула давалась в 10-катионной записи в виде Ca_{4.8}(Mg, Fe, Mn)_{5.2}[CO₃]₁₀ или в более привычной нам 1-катионной записи — суммарно точно такая же, как и у менее марганцовистых анкеритов (что не было замечено венгерскими авторами). Таким образом, несмотря на то что марганцовистый анкерит (названный «анкеритом-С») в 8 раз богаче марганцем зональных анкерит-сидеритов, *схема изоморфизма остается неизменной: структурные позиции Ca не заселяются, а заселяются железом и/или марганцем только позиции Mg*.

3. Карбонатсодержащие конкреции

Помимо конкреций, в которых карбонат является доминирующим, марганец присутствует во множестве конкреций сложного состава, в которых содержание карбонатных минера-

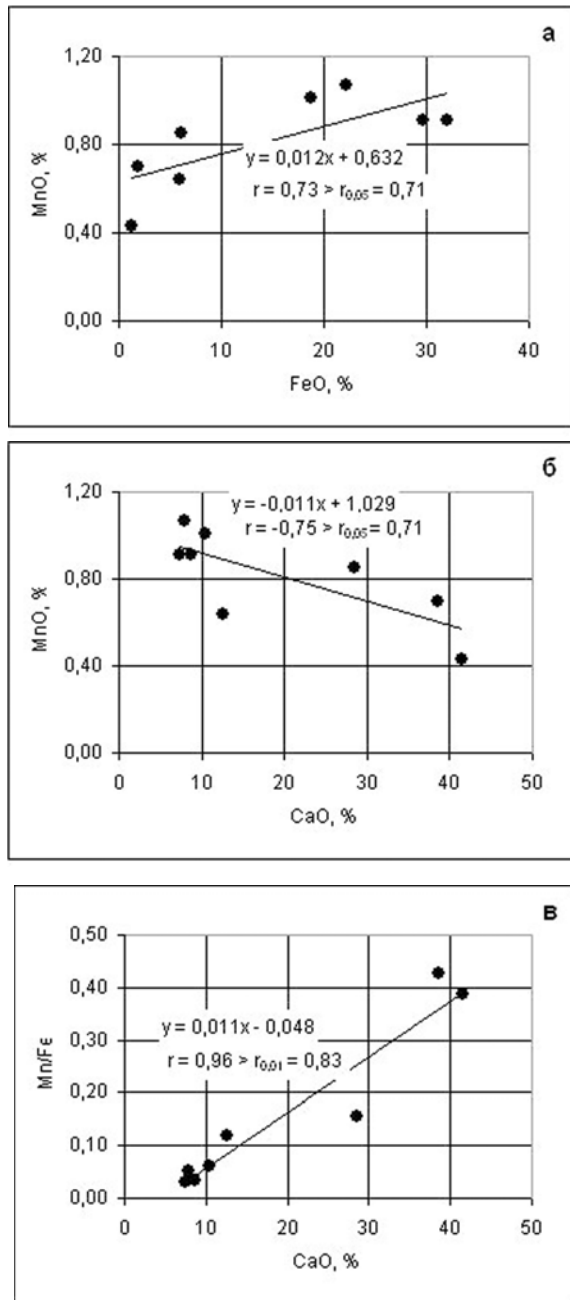


Рис. 3. Карбонатные конкреции из прибрежно-морских и морских отложений карбона Донбасса: а) прямая корреляция марганца с железом; б) обратная корреляция марганца с кальцием; в) прямая корреляция с кальцием марганцевого модуля. Построено по данным П. В. Зарицкого, 1970 г. [11, с. 94]

лов составляет меньше 50 % от суммы конкрециообразователей. Среди таких конкреций в стратисфере, по-видимому, преобладают карбонатно-кремнистые, но известны также карбонатно-силикатные (чаще всего с бертьерином), карбонатно-фосфатные, карбонатно-сульфатные (например, с баритом) и многие другие конкреции сложного состава, содержащие переменные (но иногда очень значительные) количества сульфидов. Почти все из перечисленных типов конкреций встречались нам в черносланцевых палеозойских толщах Пай-Хоя [27].

ходящей единице, величиной $MM = 1.848$.

3.2. Бертьериново-кремнистые конкреции. Кроме преобладающих кварца и бертьерина (раньше называвшегося шамозитом) в таких конкрециях могут присутствовать карбонат, фосфат (иногда в значительном количестве) и пирит. Бертьеринсодержащие конкреции, по-видимому, принадлежат к двум разным генотипам: а) вулканогенно-осадочному, где источником железа в осадке была базитовая пирокластика, и б) осадочному прибрежно-морскому, где источни-

ком железа были коры выветривания или болота на близкой суще [25, с. 192; 30, с. 305]. К первому генотипу могут быть отнесены конкреции из юры Кавказа [5, 10, 30, с. 110—111; 31] и из черносланцевого девона Пай-Хоя [27], а ко второму — оолитовые железные руды в среднем ордовике Северного Урала [33, 34] и многочисленные фосфатсодержащие конкреции в отложениях среднего девона этого региона.

На Черноморском побережье Кавказа, в полосе пляжа между Сочи и Адлером геолог В. Н. Соин собрал несколько десятков красивых черных галек. Изучение этих галек показало, что они сложены фосфатсодержащими бертьериново-кремнистыми конкрециями и конкрециоидами с переменным содержанием карбоната — либо чистыми, либо с сохранившимися фрагментами вмещающих кремнистых или терригенных пород из черносланцевых толщ юрско-мелового возраста на Кавказе [31, с. 123—124]. Обработав 32 анализа этих галек (с исключением из этого числа четырех анализов с экстремальными содержаниями фосфата или карбоната), мы выяснили, что при средних содержаниях MnO и $Fe_2O_3 + FeO$ 0.14 и 3.11 % значения марганцевого модуля сопоставимы с кларком «известняков» [39]: $MM = 0.048$. Марганец и марганцевый модуль показывают четкую корреляцию с показателями карбонатности — CaO или CO_2 (рис. 4).

3.3. Баритовые конкреции. Существенно баритовые (где барит является основным конкрециообразователем) и баритсодержащие (где он таким не является) конкреции характерны главным образом для кремнисто-терригенной среднедевонской падейской свиты на Пай-Хое, где они лучше изучены. Однако есть указания на единичные находки таких конкреций и в двух черносланцевых формациях — средней $D_3^{1-2}-C_1^1$ и верхней D_3-C_1 [27, с. 148—154]. Обработка приведенных в монографии [27, с. 159] восьми фазовых анализов баритовых и баритсодержащих конкреций дала средний нормативный состав (%): бертьерин (4) — пирит (9) — кальцит (13) — кварц (35) — барит (49). При средних содержаниях MnO 0.17 % и FeO (Fe_2O_3 здесь не определялся) 1.19 % получим очень высокую величину марганцевого модуля: $MM = 0.138$. Сильная корреляция марганца с CO_2 (рис. 5, а) или с Ca и количеством нормативного карбоната (рис. 5, б) показывает, что марганец находится в составе карбоната кальция.

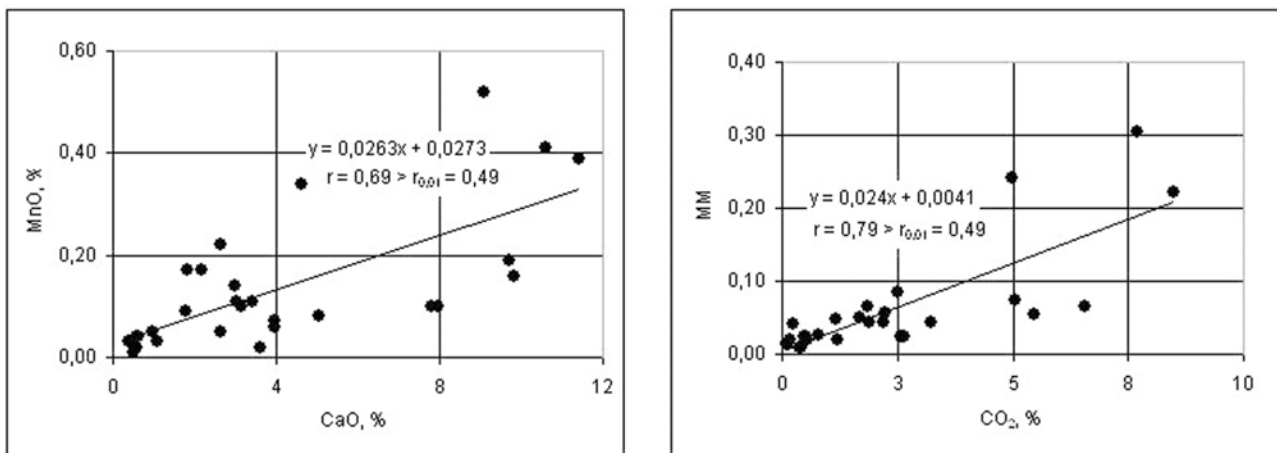


Рис. 4. Марганец в гальках бертьериново-кремнистых конкреций и конкрециоидов на Черноморском побережье Кавказа.
Построено по данным [27, с. 123–124]

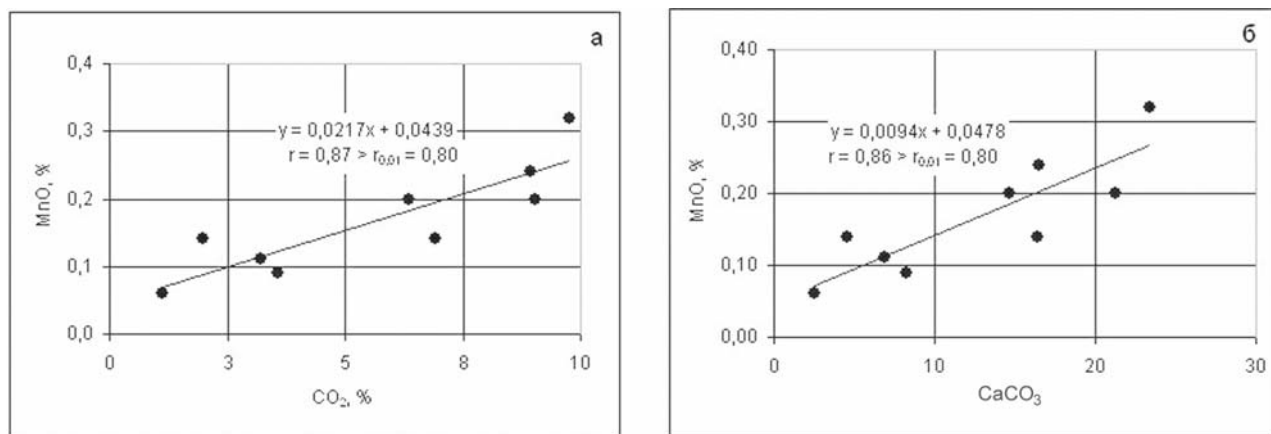


Рис. 5. Марганец в баритовых и баритсодержащих конкрециях Пай-Хоя. Построено по данным [27, с. 159]

4. Вопросы генезиса

В Mn-содержащих карбонатных конкрециях обычно доминирует только один из двух структурных типов карбонатов: кальцитовый либо доломитовый, и реже количество «кальцитовых» и «доломитовых» фаз оказывается соизмеримым. В частности, в так называемой *фаменской марганценосной формации* Пай-Хоя в результате геологического доизучения территории в масштабах 1:50000 (А. С. Микляев, 1988—1995 гг.) и 1:200000 (Е. В. Старикова, 2006—2008 гг.) выяснено, что два минеральных типа марганцевых карбонатов пространственно разобщены и совместно, как правило, не встречаются. По свидетельству петербургских геологов [20, с. 252], кутнагоритовые руды распространены преимущественно в Каро-Силловском районе, «где наблюдаются как в составе горизонта яшмоидов, так и в перекрывающей углеродистой кремнисто-карбонатной пачке. Сидеродохрозитовые руды установлены севернее (Карская площадь), где наблюдаются исключительно в верхней части разреза формации».

В монографии 1998 г. [27] нами было высказано предположение о том, что формирование карбонатов с тем или иным структурным типом определялось соотношением Mg/Ca в поровых водах и щелочным резервом. Последний, как известно, зависит от интенсивности сульфат-редукции, конечными продуктами которой являются «биогенные» CO₂ и H₂S [29, с. 196—199]. Поэтому логично допускать, что при прочих равных условиях кутнагориты формировались в средах с более мощной сульфат-редукцией в отличие от олигонитов и других карбонатов с кальцитовым типом структуры. Режим сульфат-редукции должен был быть таким, чтобы Fe²⁺ находился в поровых водах в значительном избытке по отношению к иону S²⁻, что возможно только в условиях ограниченной диффузии в осадок сульфата из наддонной морской воды. Эти соображения подсказывают, что для формирования кутнагорита были благоприятны «закрытые системы» диагенеза, в которых часто сохраняются реликтовые метастабильные минералы [32]. Напротив,

Ca—Mn и Fe—Mn-карбонаты кальцитового типа формировались в условиях низкого щелочного резерва поровых вод, что могло происходить при свободной диффузии CO₂ из осадка. Однако режим диагенеза был таким, что не приводил и к массовому образованию пирита вследствие быстрого возвратного окисления сульфида. Такие условия могли быть обеспечены только при очень медленной седиментации, порождавшей диагенез т. н. «доманикового типа» [29, с. 191—192]. Напротив, условием возникновения «закрытой системы» в диагенезе является быстрая изоляция осадка от наддонной воды, что требует не замедленной, а быстрой седиментации, это напоминает «оксфордский тип диагенеза» [29, с. 195]. Итак, вполне возможно, что, изучая распределение по разрезу конкреций и конкрециоидов с преобладанием того или иного структурного типа карбонатов, мы получим ключ к расшифровке динамики процесса седиментации.

Другой генетической проблемой является часто наблюдаемая **полиминеральность** вообще всех Mn-конкре-



ций, как карбонатных, так и карбонатсодержащих. Например, в составе конкреций из падейской свиты Пай-Хоя могут «мирно сосуществовать» до десятка минералов, определенных уверенно (рентгенографическим анализом) и еще до 3–4 предполагаемых минералов, присутствующих в качестве малой примеси [27]: кварц (халцедон), пирит (\pm галенит и, возможно, даже алабандин), барит (возможно, и сульфаты кальция и стронция), гидрослюд, альбит, фосфат, карбонаты (в том числе витерит?), бертьерин. Почти все они аутигенные, включая отчасти даже гидрослюду (о чем можно судить по факту повышенной бороносности некоторых конкреций [28]). Можно думать, что формирование полиминеральных конкреций произошло благодаря двум факторам: либо а) ранней литификации, приведшей к консервации термодинамически неуравновешенной полифазной диагенетической системы [13, с. 22; 47, с. 343], либо б) стадийности процесса, когда разные карбонаты в конкреции принадлежат к разным генерациям. В последнем случае может проявляться минеральная зональность [46] или присутствуют поздние прожилки, что нередко наблюдалось нами в пайхойских конкрециях [27].

Литература

1. Афанасьева И. М., Ткачук Л. Г. О карбонатных конкрециях во флишевых отложениях Украинских Карпат // Конкремции и конкреционный анализ. М.: Наука, 1977. С. 125–128.
2. Бобровник Д. П. Марганецсодержащие конкреции верхнеэоценовых отложений Покутских Карпат и их генезис // Конкремции и конкреционный анализ: Материалы Первого семинара по изуч. конкреций Комиссии по осадоч. породам при ОНЗ АН СССР и Отдела литологии ВСЕГЕИ (23–26 ноябр. 1970 г.). Л.: ВСЕГЕИ, С. 112–113.
3. Ветошкина О. С. Сидеритообразование в юрских отложениях Сысольской котловины // Сыктывкарский минералогический сборник № 31. Сыктывкар, 2001. С. 142–154. (Тр. Ин-та геологии Коми НЦ УрО РАН. Вып. 109).
4. Волков И. И., Логвиненко Н. В., Соколова Е. Г., Леин А. Ю. Родохрозит // Литология и геохимия осадков Тихого океана (транстихоокеанский профиль). М.: Наука, 1979. С. 85–91. (Тр. ГИН АН СССР. Вып. 334).
5. Гаврилов Ю. О. Аутигенные образования юрских отложений Западного Дагестана // Литол. и полез. ископаемые, 1982. № 2. С. 32–46.
6. Гаврилов Ю. О. Динамика формирования юрского терригенного комплекса Большого Кавказа: седиментология, геохимия, постседиментационные преобразования. М.: ГЕОС, 2005. 302 с. (Тр. ГИН РАН. Вып. 555).
7. Гецен В. Г. Тектоника Тимана. Л.: Наука, 1987. 172 с.
8. Годовиков А. А. Минералогия. М.: Недра, 1975. 520 с.
9. Грибов Е. М. Улутелякское марганцевое месторождение (Башкирское Приуралье) // Геология рудных месторождений, 1972. № 6. С. 95–101.
10. Гурешидзе Т. М., Рчеулишивили Н. Л., Розинова Е. Л. О шамозитовых конкрециях в юрских терригенных отложениях южного склона Большого Кавказа // Сообщ. АН ГССР, 1984. Т. 114. № 2. С. 353–356.
11. Зарицкий П. В. Минералогия и геохимия диагенеза угленосных отложений (на материалах Донецкого бассейна). Харьков: Харьковск. ун-т, 1970. Ч. 1. 224 с.
12. Кулешов В. Н., Брусицын А. И. Изотопный состав ($?^{13}\text{C}$, $?^{18}\text{O}$) и происхождение карбонатов марганца из месторождений Южного Урала // Литол. и полез. ископаемые, 2005. № 4. С. 416–429.
13. Леин А. Ю. Литологические типы донных отложений юго-восточной части Тихого океана и Южно-Китайского моря // Геохимическая деятельность микроорганизмов в осадках Тихого океана: Сб. науч. тр. Пущино: НЦ биол. исслед. АН СССР, 1981. С. 7–51.
14. Македонов А. В. Литология и генезис продуктивной толщи Печорского угольного бассейна // Труды геологического совещания, посвященного 25-летию геологического изучения Печорского угольного бассейна (г. Воркута, 15–25 сентября 1955 г.). Сыктывкар: Коми кн. изд-во, 1958. С. 159–196.
15. Мизь Н. Г., Китаев И. В. Состав и условия образования кремнисто-карбонатных конкреций в угольных пластах месторождений бухты Угольной // Геохимия и минералогия осадочных комплексов Дальнего Востока. Владивосток: ДВНЦ АН СССР, 1979. С. 107–126.
16. Савенко А. В. Растворимость родохрозита и физико-химическое со-
- стояние марганца (II) в морской воде // Геохимия, 2005. № 8. С. 899–903.
17. Самошкин А. А., Прокопьев А. Л. Особенности химико-минерального состава и условия формирования конкреций из отложений рэт-лейаса Бурлукского грабена // Постседиментационное минералообразование в осадочных формациях. (Сб. науч. тр.). Тюмень: ЗапСибНИГНИ, 1985. С. 132–139.
18. Семериков А. А. Сравнительная характеристика конкреционных комплексов юрских угленосных формаций Канско-Ачинского и Южно-Якутского угленосных бассейнов // Конкремции и конкреционный анализ. М.: Наука, 1977. С. 96–103.
19. Созинов Н. А. Условия формирования сидеритоносной формации позднего докембрая Кокчетавского массива // Литология и осадочные полезные ископаемые докембрая Сибири и Дальнего Востока: Материалы VIII совещ. Сиб. отделен. Комис. по осадочным породам при Отделен. геол., геохим. и геофиз. АН СССР. Новосибирск: Ин-т геол. и геофиз.; СНИИГГиМС, 1973. С. 123–125.
20. Старикова Е. В., Сорокин Р. А. Фаменские марганцевые руды Лембинской зоны Пай-Хоя // Геология и минеральные ресурсы Европейского Северо-Востока России. Т. III: Материалы XV геол. съезда Республики Коми (Сыктывкар: 13–16 апр. 2009 г.). Сыктывкар: Геопринт, 2009. С. 251–253.
21. Страхов Н. М. Железорудные фации и их аналоги в истории Земли (опыт историко-геологического анализа процесса осадкообразования). М.: АН СССР, 1947. 268 с. (Тр. Ин-та геол. наук АН СССР. Вып. 73. Геол. сер., № 22).
22. Страхов Н. М., Штеренберг Л. Е., Калиненко В. В., Тихомирова Е. С. Геохимия осадочного марганцеворудного процесса. М.: Наука, 1968. 495 с. (Тр. ГИН АН СССР. Вып. 185).
23. Шнюков Е. Ф., Корниенко С. П., Юханов И. С. Образование конкреций в мезозойских отложениях юга Украины (по данным изучения околос конкреционных ореолов). Киев: Наук. думка, 1969. 195 с.
24. Штеренберг Л. Е., Александрова В. А., Васильева Г. Л. и др. Сложный железомарганцевый карбонат в современных металлоносных осадках Тихого океана // Литол. и полез. ископ., 1981. № 1. С. 121–124.
25. Юдович Я. Э. Региональная геохимия осадочных толщ. Л.: Наука, 1981. 276 с.



26. Юдович Я. Э., Антошина А. И., Филиппов В. Н., Суханов Н. В. Минералогия и генезис карбонатных мега-конкремций в силурийских черных сланцах Полярного Урала // Минералогия рудоносных территорий Европейского Северо-Востока СССР. Сыктывкар, 1987. С. 91–101. (Тр. Ин-та геол. Коми фил. АН СССР. Вып. 58).
27. Юдович Я. Э., Беляев А. А., Кемприс М. П. Геохимия и рудогенез черносланцевых формаций Пай-Хоя. СПб.: Наука, 1998. 366 с.
28. Юдович Я. Э., Кемприс М. П. Геохимические индикаторы литогенеза (литологическая геохимия). Сыктывкар: Геопринт, 2011. 740 с.
29. Юдович Я. Э., Кемприс М. П. Геохимия черных сланцев. Л.: Наука, 1988. 272 с.
30. Юдович Я. Э., Кемприс М. П. Минеральные индикаторы литогенеза. Сыктывкар: Геопринт, 2008. 564 с.
31. Юдович Я. Э., Кемприс М. П., Никулова Н. Ю., Соин В. Н. Новые данные о шамозит-кремнистых фосфат-содержащих конкрециях // Литогенез и геохимия осадочных формаций Тимано-Уральского региона. № 6. Сыктывкар, 2007. С. 124–132 (Тр. Ин-та геол. Коми НЦ УрО РАН. Вып. 121).
32. Юдович Я. Э., Майдль Т. В., Иванова Т. И. Геохимия стронция в карбонатных отложениях: (В связи с проблемой геохимической диагностики рифов). Л.: Наука, 1980. 152 с.
33. Юдович Я. Э., Шулепова А. Н. Оолитовые руды железа в ордовикских известняках Печорского Урала // Геология и полезные ископаемые северо-востока европейской части СССР: Ежегодник–1972 Ин-та геол. Коми фил. АН СССР. Сыктывкар, 1973. С. 21–27.
34. Юдович Я. Э., Юдин В. В., Шулепова А. Н., Хорошилова Л. А. Новые данные об оолитовых железных рудах в среднем ордовике Северного Урала // Литология и условия образования докембрийских и палеозойских отложений Урала: Сб. статей. Свердловск: УНЦ АН СССР, 1981. С. 26–34.
35. Burchardt I. Zur Minerogeny der Manganakkumulationen in unterkarbonischen Kieselschiefern am Elbingerder Komplex (Harz) // Z. Angew. Geol., 1970. Bd. 16. H. 7–8. S. 332–338.
36. Coleman M., Fleet A., Donson P. Preliminary studies of manganese-rich carbonate nodules from Leg 68, Site 503, eastern equatorial Pacific // Init. Repts. Deep Sea Drill. Project. Vol. 68. Washington, D. C., 1982. P. 481–489.
37. Ehlin P. O. Distribution of carbon isotopes and manganese in some carbonate concretions // Geol. Fören. Stockholm förhandl., 1974. Vol. 96, № 1. S. 129–131.
38. Hein J.R., O'Neil J.R., Jones M.G. Origin of authigenic carbonates in sediments from the Bering Sea // Sedimentology, 1979. Vol. 26. № 5. P. 681–705.
39. Li Y.-H. A Compendium of Geochemistry. From Solar Nebula to the Human Brain. Princeton, NJ: Princeton Univ. Press, 2000. 440 pp.
40. Lepland A., Stevens R. L. Manganese authigenesis in the Landsort Deep, Baltic Sea // Mar. Geol., 1998. Vol. 151. № 1–4. P. 1–25.
41. Lorens R. B. Sr, Cd, Mn and Co distribution coefficients in calcite as a function of calcite precipitation rate // Geochim. Cosmochim. Acta, 1981. Vol. 45. № 4. P. 553–561.
42. Maynard J. B. 7.11. Manganese Sediments, Rocks, and Ores // Treatise on Geochemistry (H.D. Holland, K.K. Turekian, eds.). Amsterdam: Elsevier, 2003. P. 289–308.
43. Michard G. Coprecipitation de l'ion manganéux avec le carbonate de calcium // C. r. Acad. Sci. Ser. D, 1968. T. 267, № 21. P. 1685–1688.
44. Muszynski M., Rajchel J., Salamon W. Concretionary iron and manganese carbonates of the environs of Dynow near Przemysl (Flysch Carpathians) // Mineralogia Polonica, 1978 (1979). Vol. 9. № 1. P. 111–122.
45. Pedersen T. F., Price N. B. The geochemistry of manganese carbonate in Panama basin sediments // Geochim. Cosmochim. Acta, 1982. Vol. 46. № 1. P. 59–68.
46. Polgári M., Fyrizs I. Distribution of Mn in carbonates from the Uppony mts., NE-Hungary // Geol. zb. Geol. Carp., 1996. Vol. 47. № 4. P. 215–225.
47. Suess E. Mineral phases formed in anoxic sediments by microbial decomposition of organic matter // Geochim. Cosmochim. Acta, 1979. Vol. 43. № 3. P. 339–352.
48. Wieser T. Manganese carbonate micronodules in the Polish Carpathians Flysch deposits and their origin // Miner. pol., 1982 (1983). Vol. 13. № 1. P. 25–40.

Рецензент

к. г.-м. н. Г. Н. Лысок



Коренные выходы песчаников на р. Пижме. Фото А. Хазова